

СПЛАЙН-ФУНКЦИИ И ИХ ПРИЛОЖЕНИЯ

(Вычислительные системы)

1997 год

Выпуск 159

УДК 681.3.06:519.65

О РАСЧЕТЕ ТРАЕКТОРИИ ИНСТРУМЕНТА, ДВИЖУЩЕГОСЯ ВДОЛЬ ДВУХ КРИВЫХ

В.А.Скороспелов, П.А.Турук

Основная проблема, с которой сталкиваются технологи при использовании станков с ЧПУ, это расчет управляющих программ. Эффективное решение ее возможно только с помощью ЭВМ, оснащенной достаточно мощным специализированным программным обеспечением. Обычно расчет управляющей программы реализуется в два этапа. На первом этапе рассчитывается траектория перемещения режущего инструмента, обеспечивающая воспроизведение поверхности детали. При этом выбор геометрических параметров инструмента и схемы обработки осуществляет технолог, а программное обеспечение реализует заданные схемы обработки конкретной детали в виде траектории инструмента. На втором этапе траектория инструмента преобразуется в команды, осуществляющие соответствующие перемещения рабочих органов станка. Набор схем обработки, поддерживаемый программным обеспечением, во многом определяет эффективность программного оснащения и, в конечном счете, эффективность станков с ЧПУ. Особенно это касается станков, кинематическая схема которых имеет более трех программно-управляемых элементов.

В настоящей статье рассматриваются несколько вариантов схемы обработки, при которых инструмент перемещается вдоль двух кривых, лежащих на обрабатываемой

поверхности, соприкасаясь с ними в каждый момент времени. Эта схема привлекает технолога своей производительностью, но не обеспечивает в общем случае заданной точности обработки. Поэтому при реализации этой схемы необходимо вычислять погрешность обработки, а иногда требуется рассчитать воспроизводимую поверхность.

В дальнейшем будем предполагать, что инструмент имеет форму кругового конуса с углом полураствора α (см. рисунок). Положение конуса в пространстве определим положением двух точек \bar{C}_1 и \bar{C}_2 его оси Q .

Пусть $\bar{r} = \bar{r}(u, v)$, $u \in [a, b]$, $v \in [c, d]$, — некоторая параметризация обрабатываемой поверхности P . Рассмотрим две гладкие непересекающиеся кривые $\bar{r} = \bar{r}_1(s)$ и $\bar{r} = \bar{r}_2(s)$, $s \in [0, 1]$, лежащие на поверхности P . Пусть \bar{r}_1 , $\bar{\tau}_1$, \bar{n}_1 — некоторая точка, касательный вектор к кривой $\bar{r}_1(s)$ и нормаль к поверхности P в точке \bar{r}_1 соответственно, а \bar{r}_2 , $\bar{\tau}_2$, \bar{n}_2 — такие же величины на второй кривой. Найдем положение инструмента, при котором его поверхность в этих двух точках соприкасается с кривыми $\bar{r}_1(s)$ и $\bar{r}_2(s)$. При этом потребуем, чтобы в точке \bar{r}_1 радиус сечения конуса, нормального к его оси, равнялся заданной величине ρ_0 (см. рисунок).

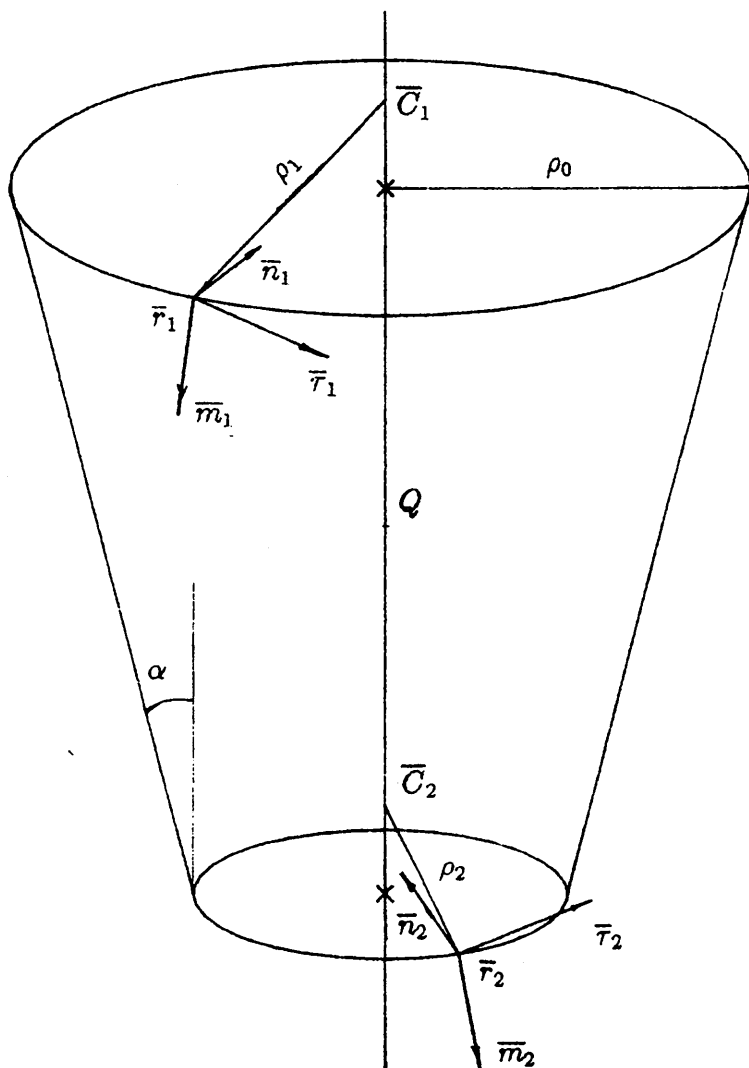
Введем дополнительно векторы: $\bar{m}_1 = \bar{\tau}_1 \times \bar{n}_1$ и $\bar{m}_2 = \bar{\tau}_2 \times \bar{n}_2$. Здесь и далее используются обозначения:

$\bar{a} \times \bar{b}$ — векторное произведение векторов \bar{a} , \bar{b} ;

(\bar{a}, \bar{b}) — скалярное произведение векторов \bar{a} , \bar{b} ;

$\langle \bar{a} \rangle = \frac{\bar{a}}{|\bar{a}|}$ — операция нормирования вектора \bar{a} .

Потребуем, чтобы точки \bar{C}_1 и \bar{C}_2 лежали на нормалях к поверхности конуса в точках \bar{r}_1 и \bar{r}_2 . В таком случае они определяются соотношениями: $\bar{C}_1 = \bar{r}_1 + \bar{A}\rho_1$, $\bar{C}_2 = \bar{r}_2 + \bar{B}\rho_2$, где $\rho_1 = \frac{\rho_0}{\cos \alpha}$, ρ_2 — пока неизвестная величина, имеющая тот же смысл, что и величина ρ_1 . Векторы \bar{A} и \bar{B} — орты нормалей к поверхности конуса в точках \bar{r}_1 и \bar{r}_2 — можно представить в виде разложения относи-



Положение конического инструмента,
касающегося двух кривых в точках \bar{r}_1 , и \bar{r}_2 .

Рис.1

тельно векторов \bar{n}_1, \bar{m}_1 и \bar{n}_2, \bar{m}_2 соответственно:

$$\bar{A} = \sin \varphi \bar{m}_1 + \cos \varphi \bar{n}_1,$$

$$\bar{B} = \sin \psi \bar{m}_2 + \cos \psi \bar{n}_2.$$

Тогда $\bar{q} = \langle \bar{C}_2 - \bar{C}_1 \rangle$ — вектор оси инструмента. Поскольку точки F_1 и F_2 принадлежат поверхности заданного конуса, то имеют место следующие равенства:

$$\left. \begin{aligned} (\bar{A}, \bar{q}) &= -\sin \alpha, \\ (\bar{B}, \bar{q}) &= -\sin \alpha, \\ \rho_1 &= \rho_2 + |\bar{C}_2 - \bar{C}_1| \sin \alpha. \end{aligned} \right\} \quad (1)$$

Эти три условия связывают неизвестные величины φ, ψ, ρ_2 . В данной статье мы не будем останавливаться на способах решения системы (1). Заметим лишь, что решение ее существует и не единственно. Нужное решение выделяется заданием обрабатываемой стороны поверхности и ориентацией оси конуса.

Задав соответствие между точками исходных кривых путем выбора подходящих параметризаций $F_1(s), F_2(s)$, $s \in [0, 1]$, и значение ρ_0 , получаем на основании уравнений (1) траекторию движения инструмента в виде траектории двух точек его оси — $\bar{C}_1(s)$ и $\bar{C}_2(s)$. Сама ось движущегося инструмента образует линейчатую поверхность $\bar{Q}(t, s) = \bar{C}_1(s)(1-t) + \bar{C}_2(s)t$, $t \in [0, 1]$. Теперь поверхность конуса для произвольного значения параметра s можно записать в виде

$$\bar{R}(t, s, \gamma) = \bar{Q}(t, s) + \rho(t)(\bar{G}(t, s) \cos \gamma + \bar{H}(t, s) \sin \gamma), \quad (2)$$

где $\rho(t) = \frac{\rho_0}{\cos^2 \alpha} - t|\bar{C}_2 - \bar{C}_1| \tan \alpha$, \bar{G} — единичный вектор, ортогональный оси \bar{q} , $\bar{H} = \bar{G} \times \bar{q}$, $\gamma \in [0, 2\pi]$. Поверхность F , воспроизводимая при таком перемещении инструмента, является огибающей семейства поверхностей (2), зависящих от параметра s . Согласно определению огибающей [1], поверхность F состоит из тех точек семейства $\bar{R}(t, s, \gamma)$, которые удовлетворяют уравнению

$$(\bar{R}_s(t, s, \gamma), \bar{r}(t, s, \gamma)) = 0, \quad (3)$$

где $\bar{R}_s = \frac{\partial}{\partial s} \bar{R}(t, s, \gamma)$, $\bar{n}(t, s, \gamma) = (\bar{G}(t, s) \cos \gamma + \bar{H}(t, s) \sin \gamma) \cos \alpha + \bar{q}(s) \sin \alpha$ — нормаль к поверхности конуса.

Равенство (3) связывает угловой параметр поверхности конуса γ с параметрами t и s . Для фиксированного значения s из (2) определяется кривая, вдоль которой соответствующая этому значению поверхность конуса соприкасается с огибающей. Поверхность F можно представить с заданной точностью бикубическим параметрическим сплайном, используя известные методы [2,3].

Поверхности P и F совпадают по крайней мере вдоль кривых $\bar{r}_1(s)$ и $\bar{r}_2(s)$. В качестве погрешности $\delta(t, s)$ приближения поверхности P поверхностью F в точке (t^*, s^*) можно принять расстояние точки $\bar{R}^* = \bar{R}(t^*, s^*, \gamma^*)$ до поверхности P . Соответствующая точка поверхности P $\bar{r}^* = \bar{r}(u^*, v^*)$ определяется из системы уравнений

$$\left. \begin{aligned} (\bar{r}(u, v) - \bar{R}^*, \bar{r}_*(u, v)) &= 0, \\ (\bar{r}(u, v) - \bar{R}^*, \bar{r}_v(u, v)) &= 0. \end{aligned} \right\}$$

Тогда $\delta^* = \delta(t^*, s^*) = |\bar{r}^* - \bar{R}^*|$.

Управляющая программа представляет собой последовательность узлов кусочно-линейной интерполяции траектории оси инструмента с заданной точностью ϵ . Задача состоит в выборе такой сетки Δ_s : $0 = s_1 < s_2 < s_3 < \dots < s_n = 1$, на которой обе кривые $\bar{C}_1(s)$ и $\bar{C}_2(s)$ интерполируются линейными сплайнами $\bar{L}_1(s)$ и $\bar{L}_2(s)$ с точностью ϵ . Действительно, если траекторию инструмента, определяемую кривыми $\bar{L}_1(s)$ и $\bar{L}_2(s)$ представить в виде $\bar{L}(t, s) = \bar{L}_1(s)(1-t) + \bar{L}_2(s)t$, то $|\bar{Q}(t, s) - \bar{L}(t, s)| = |\bar{C}_1(s)(1-t) + \bar{C}_2(s)t - \bar{L}_1(s)(1-t) - \bar{L}_2(s)t| \leq |\bar{C}_1(s) - \bar{L}_1(s)|(1-t) + |\bar{C}_2(s) - \bar{L}_2(s)|t \leq \epsilon$.

Таким образом, общая погрешность обработки d складывается из погрешности d_ϵ , обусловленной кусочно-линейным приближением траектории инструмента, и погрешности δ приближения обрабатываемой поверхности P поверхностью F . Составляющая d_ϵ может

быть сделана как угодно малой за счет выбора сетки Δs . Величина δ зависит от расстояния $|\bar{r}_2(s) - \bar{r}_1(s)|$ и геометрических параметров инструмента.

В рассмотренном выше варианте расчета траектории инструмента соответствие между точками исходных кривых $\bar{r}_1(s)$ и $\bar{r}_2(s)$ предполагалось заданным. Если нет никаких дополнительных условий, то естественно каждой точке кривой $\bar{r}_1(s)$ поставить в соответствие ближайшую точку кривой $\bar{r}_2(s)$. Однако за счет соответствия между точками этих кривых можно обеспечить выполнение некоторых дополнительных, важных с практической точки зрения условий, накладываемых на траекторию инструмента. А именно, потребуем, чтобы в процессе обработки ось инструмента \bar{q} оставалась параллельной заданной плоскости с нормалью \bar{N} . Для этого добавим к системе (1) уравнение $(\bar{q}, \bar{N}) = 0$, а в число неизвестных величин включим переменную \bar{s} — параметр точки \bar{r}_2 на кривой $\bar{r}_2(\bar{s})$. Это условие позволяет для воспроизведения траектории инструмента кинематическими органами станка обойтись четырьмя степенями свободы, а не пятью, как в общем случае. Следует заметить при этом, что система (1) совместна не для всех произвольных \bar{N} . Однако для случаев, имеющих практический интерес, решение системы существует.

Еще один способ установки инструмента относительно детали состоит в следующем. Потребуем, чтобы в точках кривой $\bar{r}_1(s)$ поверхность инструмента соприкасалась с поверхностью $\bar{r}(u, v)$. Для поверхности общего вида такая схема обработки, вообще говоря, невыполнима. Однако в случае, когда $\bar{r}(u, v)$ есть линейчатая поверхность и $\bar{r}_1(s)$, $\bar{r}_2(s)$ — ее направляющие, такая схема перемещения инструмента вполне возможна. В этом случае в системе (1) следует положить $\varphi = 0$, а к числу неизвестных ψ, ρ_2 добавить переменную s .

Изложенная методика применялась при расчете управляющих программ для обработки на станках с ЧПУ моноколес и вентиляторных лопаток — основных конструктивных деталей авиационного двигателя. Лопатки

моноколеса задаются, как правило, в виде неразвертываемой линейчатой поверхности. Для их обработки был использован последний из рассмотренных вариантов предложенной схемы. Вентиляторные лопасти обрабатывались полосами шлифовальным кругом конической формы. Размер полосы и соответствующая длина образующей инструмента рассчитывались для заданной точности обработки. В этом случае применялись первые два варианта рассмотренной схемы. В качестве кривых $\bar{r}_1(s)$ и $\bar{r}_2(s)$, ограничивающих полосу одного прохода, использовались координатные линии поверхности лопатки.

Л и т е р а т у р а

1. ЗАЛГАЛЛЕР В.А. Теория огибающих. — М.: Наука, 1975. — 104 с.
2. ЗАВЬЯЛОВ Ю.С., КВАСОВ В.И., МИРОШНИЧЕНКО В.Л. Методы сплайн-функций. — М.: Наука, 1980. — 352 с.
3. ЗАВЬЯЛОВ Ю.С., ЛЕУС В.А., СКОРОСПЕЛОВ В.А. Сплаины в инженерной геометрии. — М.: Машиностроение, 1985. — 224 с.

Поступила в редакцию
24 января 1997 года